

Application des méthodes de simulation du modèle 3/2 à la tarification d'options.

Iro R. Kouarfate, Michael A. Kouritzin et Anne Mackay

Université du Québec à Montréal
Département de Mathématique

kouarfate.iro_rene@courrier.uqam.ca

27 juin 2024

- 1 Introduction et motivation
- 2 Définition du modèle 3/2
- 3 Évaluation neutre au risque et méthodes de simulation
- 4 Solution faible explicite du modèle 3/2
- 5 Application des algorithmes à la tarification
- 6 Résultats et interprétations
- 7 Conclusion et Perspectives

- Tarifier, c'est déterminer le prix à payer aujourd'hui pour acheter ou vendre un produit financier dans le futur à un prix fixé K .
- La valeur future d'un produit financier (actif, produit dérivés) est incertaine.
- L'évolution des actifs financiers est souvent modélisée par les équations différentielles stochastique (EDS).
- L'évaluation des produits financiers est basée sur les solutions (analytiques ou numériques) des modèles financiers.
- La motivation du modèle 3/2 est liée aux limites des modèles de Black-Scholes et de Heston.
- Nous présentons une méthode de simulation basée sur la solution explicite faible du modèle 3/2.

Définition (Modèle 3/2)

Sur l'espace de probabilité filtré $(\Omega, \mathcal{F}, \mathbb{F}, \mathbb{Q})$, la dynamique du modèle 3/2 est donnée par

$$\begin{cases} dS_t &= rS_t dt + \sqrt{V_t} S_t dZ_t \\ dV_t &= \kappa V_t (\bar{V} - V_t) dt + \eta V_t^{\frac{3}{2}} dW_t \end{cases} \quad (1)$$

avec $S_0 > 0$, $V_0 > 0$ des valeurs initiales des deux processus. r est le taux de rendement moyen sans risque, Z et W sont deux mouvements browniens standards corrélés de coefficient de corrélation $\rho \in [-1, 1]$. κ , \bar{V} et η sont des nombres réels strictement positifs.

Définition du modèle

En posant $X = \log(S)$ et en appliquant le lemme d'Itô au processus $U_t = \frac{1}{V_t}$ avec $V_t > 0$, le modèle 3/2 est défini par le système des EDS suivant :

$$\begin{cases} dX_t &= \left(r - \frac{1}{2U_t} \right) dt + U_t^{-\frac{1}{2}} \left(\rho dW_t + \sqrt{1 - \rho^2} dB_t \right) \\ dU_t &= \kappa \bar{V} \left(\frac{\kappa + \eta^2}{\kappa \bar{V}} - U_t \right) dt - \eta \sqrt{U_t} dW_t. \end{cases} \quad (2)$$

où U est le processus inverse de la variance et

$$\rho dW_t + \sqrt{1 - \rho^2} dB_t = dZ_t$$

est la décomposition de Cholesky.

Évaluation neutre au risque

Theorem (Théorème fondamental de l'évaluation neutre au risque)

Sous la mesure neutre au risque, la valeur au temps $t = 0$ de l'option d'achat européenne de maturité T et de prix d'exercice K est

$$C_0 = e^{-rT} \mathbb{E}^{\mathbb{Q}} [\max(S_T - K, 0)]. \quad (3)$$

Lemma (Formule analytique du modèle 3/2 pour le prix d'une option européenne)

Le prix de cette option au temps $t = 0$ est donné par :

$$C(S_0, K, T) = S_0 e^{-\delta T} - \frac{\sqrt{S_0 K} e^{-\frac{1}{2}(r+\delta)T}}{\pi} \int_0^{+\infty} \frac{\Re \left[e^{iuk} \phi_T \left(u - \frac{i}{2} \right) \right]}{u^2 + \frac{1}{4}} du, \quad (4)$$

La méthode de Milstein

- Elle est basée sur les approximations d'ordre 1 de X et d'ordre 2 de U .
- Pour $0 < s < t$, l'approximation de Milstein du modèle 3/2 est :

$$X_t - X_s \approx \left[r - \frac{1}{2} f \left(\frac{1}{U_s} \right) \right] (t - s) + \sqrt{(t - s) f(U_s^{-1})} X_s \left(\rho Z_v + \sqrt{1 - \rho^2} Z_x \right),$$

$$U_t - U_s \approx [\kappa + \eta^2 - \kappa \bar{V} f(U_s)] (t - s) - \eta \sqrt{(t - s) f(U_s)} Z_v + \frac{1}{4} \eta^2 (Z_v^2 - 1) (t - s).$$

avec $f(x) = \max(0, x)$ où Z_v et Z_x sont des réalisations de lois normales centrées réduites indépendantes.

La méthode exponentielle quadratique de Andersen (QE)

Elle est basée sur deux étapes :

- Une variable aléatoire khi carré peut être bien représentée par le carré d'une variable aléatoire gaussienne (Andersen 2008).
 - 1 Pour $0 < s < t$, $U(t) | U(s) = a_1 (b_1 + Z_v)^2$, où $Z_v \sim N(0, 1)$
 - 2 a_1 et b_1 sont déterminées par la technique d'appariement des moments c'est-à-dire que :

$$a_1 = \frac{m}{1 + b_1^2}, b_1^2 = 2\psi^{-1} - 1 + \sqrt{2\psi^{-1} - 1},$$
$$\psi = \frac{s^2}{m^2}, m = \mathbb{E}[U(t) | U(s)] \text{ et } s^2 = \mathbb{V}ar[U(t) | U(s)].$$

- La deuxième étape est basée sur la la simulation exacte du processus du log-rendement de l'actif sous-jacent $X = \log(S)$

La méthode QE (suite)

- ❶ La dérivation de $X = \log(S)$ donne

$$\begin{aligned} X_t = X_s &+ \left(r - \frac{\rho \kappa \bar{V}}{\eta} \right) (t - s) + \left[\frac{\kappa + \frac{\eta^2}{2}}{\eta} \rho - \frac{1}{2} \right] \int_s^t \frac{1}{U_u} du \\ &- \frac{\rho}{\eta} \log \left(\frac{U_t}{U_s} \right) + \sqrt{1 - \rho^2} \int_s^t \left(\sqrt{U_u} \right)^{-1} dZ_u. \end{aligned} \quad (5)$$

- ❷ On approxime les intégrales réelle et stochastique comme suit :

$$\begin{aligned} \int_s^t (U_u)^{-1} du &\cong (t - s) \frac{(U_t)^{-1} + (U_s)^{-1}}{2} \\ \int_s^t \left(\sqrt{U_u} \right)^{-1} dZ_u &\cong \sqrt{\frac{t - s}{2}} \left((U_t)^{-1} + (U_s)^{-1} \right) Z. \end{aligned}$$

Solution faible explicite du modèle 3/2

Nous adaptons les résultats de (Kouritzin 2018) sur le modèle de Heston au modèle 3/2.

- **Condition d'existence d'une solution explicite faible du modèle**

- ① S'il existe un entier naturel non nul n tel que $\kappa + \eta^2 = \frac{n\eta^2}{4}$, alors le processus U admet une solution faible explicite.

- ② On a alors la **Condition (C')** : Il existe un nombre entier naturel n supérieur ou égal 5 tel que $\kappa = \frac{\eta^2(n-4)}{4}$.

- **L'approche proposée est basée sur le fait que :**

- ① Le processus S , admet une solution exacte. (Baldeau 2012).

- ② Si **Condition (C')** est vérifiée, alors le processus U est égal en distribution à la somme des carrés de n processus Ornstein-Uhlenbeck.

Solution faible explicite du modèle 3/2

Dérivation de la solution explicite faible si (C') est vérifiée

Considérons la dynamique du modèle 3/2 suivante :

$$\begin{cases} dX_t &= \left(r - \frac{1}{2U_t} \right) dt + U_t^{-\frac{1}{2}} \left(\rho dW_t + \sqrt{1 - \rho^2} dB_t \right) \\ dU_t &= \kappa\theta \left(\frac{\kappa + \eta^2}{\kappa\theta} - U_t \right) dt - \eta\sqrt{U_t} dW_t. \end{cases} \quad (6)$$

On a

$$\begin{aligned} X_t = X_0 &+ \left(r - \frac{\rho\kappa\theta}{\eta} \right) t + \left[\frac{\kappa + \frac{\eta^2}{2}}{\eta} \rho - \frac{1}{2} \right] \int_0^t (U_s)^{-1} ds \\ &- \frac{\rho}{\eta} \log \left(\frac{U_t}{U_0} \right) + \sqrt{1 - \rho^2} \int_0^t \left(\sqrt{U_s} \right)^{-1} dB_s. \end{aligned} \quad (7)$$

Theorem (Solution explicite faible du modèle 3/2.)

Supposons qu'il existe un entier naturel $n \geq 5$ tel que la condition (C') soit vérifiée avec ce n . Soient $W^{(1)}, W^{(2)}, \dots, W^{(n)}, B$ des MBS indépendants sur $(\Omega, \mathcal{F}, \{\mathcal{F}_t\}_{t \in [0, T]}, \mathbb{Q})$ et $\epsilon > 0$ un nombre réel. Soient $S_0 > 0$ et $U_0 > 0$ des constantes réelles. Le modèle 3/2 défini par le système (6) a une solution explicite faible définie par :

$$S_t = S_0 \exp \left(\sqrt{1 - \rho^2} \int_0^t \sqrt{U_s^{-1}} dB_s + \left(r - \frac{\rho \kappa \theta}{\eta} \right) t \right. \\ \left. + \left[\frac{\kappa + \frac{\eta^2}{2}}{\eta} \rho - \frac{1}{2} \right] \int_0^t (\hat{U}_s)^{-1} ds - \frac{\rho}{\eta} \log \left(\frac{U_t}{U_0} \right) \right) \quad (8)$$

$$U_t = \sum_{i=1}^n \left(Y_t^{(i)} \right)^2 \quad (9)$$

Solution faible explicite du modèle 3/2

Theorem (suite)

avec $\tau_\epsilon = \inf \{t : U_t < \epsilon\}$ où pour $i \in \{1, 2, \dots, n\}$,

$$Y_t^{(i)} = -\frac{\eta}{2} \int_0^t e^{-\frac{\kappa\theta}{2}(t-u)} dW_u^{(i)} + e^{-\frac{\kappa\theta}{2}t} Y_0^{(i)}, \quad Y_0^{(i)} = \sqrt{U_0/n} \quad (10)$$

sont des processus d'Ornstein-Uhlenbeck et sous la mesure \mathbb{Q} ,

$$W_t = \sum_{i=1}^n \int_0^t Y_u^{(i)} \left(\sum_{j=1}^n \left(Y_u^{(j)} \right)^2 \right)^{-\frac{1}{2}} dW_u^{(i)} \quad (11)$$

est un mouvement brownien tel que

$$dU_t = (\kappa + \eta^2 - \kappa\theta U_t) dt - \eta\sqrt{U_t} dW_t$$

Dérivation du modèle avec arrêt Si (\mathbf{C}') n'est pas vérifiée

- Nous définissons de nouveaux paramètres pour obtenir une calibration qui vérifie (\mathbf{C}') comme suit. Soit $n \geq 5$ un entier naturel, κ_η et θ_η des réels positifs tel que :

$$n = \left(\left\lfloor \frac{4\kappa}{\eta^2} + \frac{1}{2} \right\rfloor \vee 1 \right) + 4, \quad \kappa_\eta = \frac{(n-4)\eta^2}{4},$$
$$\theta_\eta = \frac{\kappa\theta}{\kappa_\eta} \text{ c'est-à-dire } \kappa_\eta\theta_\eta = \kappa\theta$$

- U peut prendre des valeurs proches de zéro. On arrêtera le processus U lorsqu'il approchera zéro.
- Nous considérons les MBS indépendants $W^{(1)}, W^{(2)}, \dots, W^{(n)}$ et B définis sur $(\Omega, \mathcal{F}, \{\mathcal{F}_t\}_{t \in [0, T]}, \mathbb{Q})$ et définissons les processus \hat{U} et \hat{S} par

Solution faible explicite du modèle 3/2

$$\begin{aligned}\hat{S}_t = S_0 \exp & \left(\sqrt{1 - \rho^2} \int_0^t \sqrt{\hat{U}_s^{-1}} dB_s + \left(r - \frac{\rho \kappa \theta}{\eta} \right) t \right. \\ & \left. + \left[\frac{\kappa + \frac{\eta^2}{2}}{\eta} \rho - \frac{1}{2} \right] \int_0^t (\hat{U}_s)^{-1} ds - \frac{\rho}{\eta} \log \left(\frac{\hat{U}_t}{U_0} \right) \right) \quad (12)\end{aligned}$$

$$\hat{U}_t = \sum_{i=1}^n \left(Y_t^{(i)} \right)^2, \quad (13)$$

où pour $i \in \{1, 2, \dots, n\}$

$$Y_t^{(i)} = -\frac{\eta}{2} \int_0^{t \wedge \tau_\epsilon} e^{-\frac{\kappa \theta}{2}(t-u)} dW_u^{(i)} + e^{-\frac{\kappa \theta}{2}(t \wedge \tau_\epsilon)} Y_0^{(i)} \quad (14)$$

avec $Y_0^{(i)} = \sqrt{U_0/n}$, $U_0 > \epsilon$ et $\tau_\epsilon = \inf \left\{ t \in [0, T], \hat{U}_t < \epsilon \right\}$.

Solution faible explicite du modèle 3/2

- Nous construisons une mesure de probabilité artificielle sous laquelle les processus \hat{S} et \hat{U} satisfont (6)

Lemma (Dynamique de \hat{U} sous \mathbb{Q})

Soient $(W^{(1)}, W^{(2)}, \dots, W^{(n)})$ des MBS et indépendants sur $(\Omega, \mathcal{F}, \{\mathcal{F}_t\}_{t \in [0, T]}, \mathbb{Q})$ et $\{Y_t^{(i)}\}_{i=1}^n$ des processus de Ornstein-Uhlenbeck dont la dynamique est définie par (14). Sous la mesure \mathbb{Q} , le processus W_t défini par

$$W_t = \sum_{i=1}^n \int_0^t Y_u^{(i)} \left(\sum_{j=1}^n \left(Y_u^{(j)} \right)^2 \right)^{-\frac{1}{2}} dW_u^{(i)},$$

est un mouvement brownien standard pour $t \in [0, T]$ et le processus

Lemma (suite)

$$\hat{U}_t = \sum_{i=1}^n \left(Y_t^{(i)} \right)^2 \text{ satisfait}$$

$$\begin{cases} d\hat{U}_t &= \left(\kappa_\eta + \eta^2 - \kappa\theta\hat{U}_t \right) dt - \eta\sqrt{\hat{U}_t}dW_t, \text{ si } t \leq \tau_\epsilon \\ d\hat{U}_t &= 0, \text{ si } t > \tau_\epsilon \end{cases} \quad (15)$$

avec $\hat{U}_0 = U_0$.

On a que

$$\begin{aligned} d\hat{U}_t &= \left(\kappa_\eta + \eta^2 - \kappa\theta\hat{U}_t \right) dt - \eta\sqrt{\hat{U}_t}dW_t \\ &= \left(\kappa + \eta^2 - \kappa\theta\hat{U}_t \right) dt - \eta\sqrt{\hat{U}_t} \left(dW_t - \frac{\kappa_\eta - \kappa}{\eta\sqrt{\hat{U}_t}} dt \right). \end{aligned}$$

Solution faible explicite du modèle 3/2

Notons \hat{W}_t le processus défini par $\hat{W}_0 = 0$ et

$$\begin{cases} d\hat{W}_t = dW_t + \frac{\kappa - \kappa_\eta}{\eta \sqrt{\hat{U}_t}} dt, & \text{si } t \leq \tau_\epsilon \\ d\hat{W}_t = dW_t, & \text{si } t > \tau_\epsilon. \end{cases} \quad (16)$$

- on cherche la mesure sous laquelle \hat{U}_t a la même distribution que celle de U_t sous \mathbb{Q} pour $t \leq \tau_\epsilon$.

Remarque

S'il existe une mesure de probabilité sous laquelle \hat{W} est un mouvement brownien standard sur $[0, T]$, alors sous cette mesure de probabilité, \hat{U}_t aura la même distribution que celle de U_t sous la mesure \mathbb{Q} jusqu'à τ_ϵ .

Solution faible explicite du modèle 3/2

- Nous définissons une mesure de probabilité sous laquelle \hat{W}_t est un mouvement brownien.

Lemma (Définition de la mesure artificielle $\hat{\mathbb{P}}$)

Soient $(W^{(1)}, W^{(2)}, \dots, W^{(n)})$ des MBS et indépendants sur $(\Omega, \mathcal{F}, \{\mathcal{F}_t\}_{t \in [0, T]}, \mathbb{Q})$ et W le MBS défini par (11). Soient $\epsilon \in (0, 1)$, $T \in \mathbb{R}_+^*$ fixé, $\tau_\epsilon = \inf \left\{ t \in [0, T], \hat{U}_t < \epsilon \right\}$ un temps d'arrêt et \hat{U}_0 une constante réelle telle que $\hat{U}_0 > \epsilon$. On définit le processus \hat{L} par

$$\hat{L}_t = \exp \left(\int_0^t \frac{\kappa_\eta - \kappa}{\eta \sqrt{\hat{U}_s}} dW_s - \frac{1}{2} \int_0^t \frac{|\kappa_\eta - \kappa|^2}{\eta^2 \hat{U}_s} ds \right), \quad (17)$$

Lemma (suite)

et, on définit la mesure $\hat{\mathbb{P}}$ telle que pour tout $A \in \mathcal{F}_T$, $\hat{\mathbb{P}}(A) = \mathbb{E}[\mathbb{I}_A L_T]$ où \mathbb{I}_A est la fonction indicatrice de A .

Alors le processus \hat{L} est une martingale sur $[0, T]$ sous la mesure \mathbb{Q} . De plus, $\hat{\mathbb{P}}$ définit une mesure de probabilité et enfin le processus

$$\hat{W}_t = \sum_{i=1}^n \int_0^t Y_u^{(i)} \left(\sum_{j=1}^n \left(Y_u^{(j)} \right)^2 \right)^{-\frac{1}{2}} dW_u^{(i)} + \int_0^{t \wedge \tau_\epsilon} \frac{(\kappa - \kappa_\eta)}{\eta \sqrt{\hat{U}_s}} ds \quad (18)$$

est un mouvement brownien standard sur $[0, T]$ sous la mesure $\hat{\mathbb{P}}$ satisfaisant (16).

Remarque

$$\begin{aligned}\hat{L}_t &= \exp \left(\int_0^t \frac{\kappa_\eta - \kappa}{\eta \sqrt{\hat{U}_s}} dW_s - \frac{1}{2} \int_0^t \frac{|\kappa_\eta - \kappa|^2}{\eta^2 \hat{U}_s} ds \right) \\ &= \frac{d\hat{\mathbb{P}}}{d\mathbb{Q}} \Big|_{\mathcal{F}_t}\end{aligned}$$

est la dérivée de Radon-Nikodym de $\hat{\mathbb{P}}$ par rapport à \mathbb{Q} . \hat{L}_t peut être interprétée comme étant le facteur d'ajustement appliqué à une probabilité quelconque \mathbb{Q} afin d'obtenir $\hat{\mathbb{P}}$.

Nous pouvons aussi voir \hat{L}_t comme étant le poids qui est donné à chaque simulation en fonction de sa vraisemblance au vrai modèle. On fait donc de l'échantillonnage préférentiel.

Lemma (Dynamique du processus \hat{U} du modèle avec arrêt sous la mesure de probabilité artificielle $\hat{\mathbb{P}}$.)

Sous la mesure de probabilité artificielle $\hat{\mathbb{P}}$ le processus \hat{U} défini par (13) du modèle avec arrêt a pour dynamique

$$\begin{cases} d\hat{U}_t &= \left((\kappa + \eta^2) - \kappa\theta\hat{U}_t \right) dt - \eta\sqrt{\hat{U}_t}d\hat{W}_t \text{ si } t \leq \tau_\epsilon \\ d\hat{U}_t &= 0 \text{ si } t > \tau_\epsilon \end{cases} \quad (19)$$

où \hat{W} défini par (18) est un mouvement brownien standard sous $\hat{\mathbb{P}}$. De plus, pour $t \leq \tau_\epsilon$, le processus \hat{L} peut être exprimé par

$$\hat{L}_t = \exp \left(\frac{\kappa - \kappa_\eta}{\eta^2} \left[\log \left(\frac{\hat{U}_t}{U_0} \right) + \int_0^t \left(\kappa\theta - \frac{\eta^2 + 3\kappa_\eta - \kappa}{2\hat{U}_s} \right) ds \right] \right). \quad (20)$$

Lemma (Dynamique de l'actif sous-jacent du modèle avec arrêt sous la mesure de probabilité artificielle. $\hat{\mathbb{P}}$.)

Sous la mesure de probabilité artificielle $\hat{\mathbb{P}}$ le processus \hat{S} défini par (12) de l'actif sous-jacent du modèle avec arrêt a pour dynamique

$$\begin{cases} d\hat{S}_t &= r\hat{S}_t dt + \hat{U}_t^{-\frac{1}{2}} \hat{S}_t \left(\rho d\hat{W}_t + \sqrt{1 - \rho^2} dB_t \right), \text{ si } t \leq \tau_\epsilon, \\ d\hat{S}_t &= \hat{S}_t (r_\epsilon dt + \sigma_\epsilon dB_t), \text{ si } t > \tau_\epsilon, \end{cases} \quad (21)$$

avec

$$\begin{cases} d\hat{U}_t &= \left((\kappa + \eta^2) - \kappa\theta\hat{U}_t \right) dt - \eta\sqrt{\hat{U}_t} d\hat{W}_t, \text{ si } t \leq \tau_\epsilon, \\ d\hat{U}_t &= 0 \text{ si } t \geq \tau_\epsilon, \end{cases}$$

Solution faible explicite du modèle 3/2

où $r_\epsilon = r - \rho \frac{2\kappa\theta\epsilon + \eta\rho - \eta^2 - 2\kappa}{2\eta\epsilon}$, $\sigma_\epsilon = \sqrt{\frac{1 - \rho^2}{\epsilon}}$ et (B, \hat{W}) sont des MBS et indépendants sous la mesure artificielle $\hat{\mathbb{P}}$ car (B, W) sont des MBS indépendants sous la mesure \mathbb{Q} .

Remarque

Comme on arrête le processus \hat{U} à ϵ après τ_ϵ , on obtient le modèle de Black-Scholes pour $t > \tau_\epsilon$.

En résumé,

- La dynamique du modèle avec arrêt sous $\hat{\mathbb{P}}$ est donnée par :

Solution faible explicite du modèle 3/2

$$\begin{cases} d\hat{S}_t &= r\hat{S}_t dt + \hat{U}_t^{-\frac{1}{2}} \hat{S} \left(\rho d\hat{W}_t + \sqrt{1 - \rho^2} dB_t \right) \\ d\hat{U}_t &= \left((\kappa + \eta^2) - \kappa\theta\hat{U}_t \right) dt - \eta\sqrt{\hat{U}_t} d\hat{W}_t \end{cases} \text{ si } t \leq \tau_\epsilon \quad (22)$$

et

$$\begin{cases} d\hat{S}_t &= \hat{S}_t (r_\epsilon dt + \sigma_\epsilon dB_t) \\ d\hat{U}_t &= 0 \end{cases} \text{ si } t > \tau_\epsilon \quad (23)$$

où $\tau_\epsilon = \inf \left\{ t \in [0, T] : \hat{U}_t \leq \epsilon \right\}$ et B, \hat{W} deux MBS indépendants sous $\hat{\mathbb{P}}$.

- Une solution explicite faible du modèle avec arrêt sous la mesure $\hat{\mathbb{P}}$ est donnée par l'ensemble des processus suivants :

Solution faible explicite du modèle 3/2

$$\begin{aligned}\hat{S}_t = S_0 \exp & \left(\sqrt{1 - \rho^2} \int_0^t \sqrt{\hat{U}_s}^{-1} dB_s + \left(r - \frac{\rho \kappa \theta}{\eta} \right) t \right. \\ & \left. + \left[\frac{\kappa + \frac{\eta^2}{2}}{\eta} \rho - \frac{1}{2} \right] \int_0^t (\hat{U}_s)^{-1} ds - \frac{\rho}{\eta} \log \left(\frac{\hat{U}_t}{U_0} \right) \right) \quad (24)\end{aligned}$$

$$\hat{U}_t = \sum_{i=1}^n \left(Y_t^{(i)} \right)^2, \quad (25)$$

$$\hat{L}_t = \exp \left(\frac{\kappa - \kappa \eta}{\eta^2} \left[\log \left(\frac{\hat{U}_t}{U_0} \right) + \int_0^t \left(\kappa \theta - \frac{\eta^2 + 3\kappa \eta - \kappa}{2\hat{U}_s} \right) ds \right] \right) \quad (26)$$

si $t \leq \tau_\epsilon$ et

$$Y_t^{(i)} = -\frac{\eta}{2} \int_0^{t \wedge \tau_\epsilon} e^{-\frac{\kappa \theta}{2}(t-u)} dW_u^{(i)} + e^{-\frac{\kappa \theta}{2} t \wedge \tau_\epsilon} Y_0^{(i)} \text{ où } Y_0^{(i)} = \sqrt{U_0/n}, \quad (27)$$

Méthode de simulation explicite pondérée du modèle 3/2

Soit $\mathcal{P} = \{0, h, \dots, Mh\}$ de l'intervalle $[0, T]$ de pas uniforme $h = \frac{T}{M}$.

- **Simuler le Ornstein-Uhlenbeck Y**

$$Y_t = -\frac{\eta}{2} \int_0^{t \wedge \tau_\epsilon} e^{-\frac{\kappa\theta}{2}(t-u)} dW_u + e^{-\frac{\kappa\theta}{2}t} Y_0.$$

$$Y_{t+h} \stackrel{\mathcal{D}}{=} \alpha_h Y_t - \sigma_h Z,$$

avec $\alpha_h = e^{-\frac{\kappa\theta}{2}h}$ et $\sigma_h = \eta \sqrt{\frac{1-e^{-\kappa\theta h}}{4\kappa\theta}}$, on obtient
où Z suit la loi normale centrée réduite

- **Simuler le processus de variance V**

Simuler $U_t = \sum_{i=1}^n \left(Y_t^{(i)}\right)^2$ avec $U_t > 0$ et poser $V_t = \frac{1}{U_t}$ où $Y^{(i)}$

$i = 1, 2, \dots, n$ sont des processus construits à l'aide des mouvements browniens indépendants $W^{(i)}$

- **Simuler les processus \hat{S} et \hat{L}**

- ① Définir les constantes suivantes.

$$a_1 = \sqrt{1 - \rho^2}, \quad b_1 = r - \frac{\kappa\theta}{\eta}\rho, \quad c_1 = \frac{\kappa + \frac{\eta^2}{2}}{\eta}\rho - \frac{1}{2},$$
$$d_1 = \frac{\rho}{\eta}, \quad e_1 = \frac{\kappa\eta - \kappa}{\eta^2}, \quad f_1 = -e_1 \frac{\eta^2 + 3\kappa\eta - \kappa}{2}.$$

- ② Conditionnellement à \hat{S}_t , \hat{V}_t , \hat{V}_{t+h} et \hat{L}_t , de (24) et (26) on a :

$$\hat{S}_{t+h} = \hat{S}_t \exp \left(a_1 \int_t^{t+h} \sqrt{\hat{V}_s} dB_s + b_1 h + c_1 \int_t^{t+h} \hat{V}_s ds + d_1 \log \left(\frac{\hat{V}_t}{\hat{V}_{t+h}} \right) \right) \quad (28)$$

$$\hat{L}_{t+h} = \hat{L}_t \exp \left\{ e_1 \left(\log \left(\frac{\hat{V}_t}{\hat{V}_{t+h}} \right) + \kappa\theta h \right) + f_1 \int_t^{t+h} \hat{V}_s ds \right\}, \text{ si } t \leq \tau_\epsilon. \quad (29)$$

avec $\hat{V}_t = \frac{1}{\hat{U}_t}$, où $\hat{V}_t \geq \epsilon > 0$

- La valeur d'une option d'achat européenne de maturité T et prix d'exercice K est $C(T, S_T) = \max(S_T - K, 0)$
- L'estimateur Monte Carlo \hat{C} du prix C est donné par :

$$\hat{C} = \mathbb{E}^{\mathbb{Q}} \left[e^{-rT} (S_T - K)^+ \right] \approx \frac{e^{-rT}}{N} \sum_{i=1}^N \left(S_T^{(i)} - K \right)^+ \quad (30)$$

où $(x - K)^+ = \max(x - K, 0)$ ou par

$$\mathbb{E}[C(T, S_T)] \approx \frac{\sum_{k=1}^N \hat{L}_T^{(k)} C(\hat{S}_T^{(k)}, T) \mathbb{I}_{\{\hat{\tau}_\epsilon^{(k)} > T\}}}{\sum_{k=1}^N \hat{L}_T^{(k)} \mathbb{I}_{\{\hat{\tau}_\epsilon^{(k)} > T\}}} \quad (31)$$

Les critères de performances des algorithmes :

- La précision des algorithmes est donnée par l'erreur quadratique moyenne relative (RMSE).
- L'approximation du RMSE d'un estimateur \hat{C} de C est donnée par :

$$RMSE = \frac{\mathbb{E} \left[(C - \hat{C})^2 \right]}{C} \approx \frac{1}{J} \sum_{j=1}^J \frac{(C - \hat{C}^{(j)})^2}{C} \quad (32)$$

- L'efficacité d'un algorithme est donnée par la formule suivante :

$$\varepsilon(\hat{C}) = \frac{1}{RMSE \times \hat{\mathbb{E}}(\tau_{\hat{C}})} \quad (33)$$

Table – Ensembles de paramètres

	$PS2$	$PS3$	$PS4$	$PS5$
S_0	100	100	100	100
V_0	0.2450^2	0.2450^2	0.2450^2	0.2450^2
κ	22.84	18.3184	19.76	20.48
θ	0.4669^2	0.4669^2	0.4669^2	0.4669^2
η	8.56	8.56	3.2	3.2
ρ	-0.99	-0.99	-0.99	-0.99
r	0.00	0.00	0.00	0.00
ϵ	0.00001	0.00001	0.00001	0.00001

- $PS2$ ne vérifie (\mathbf{C}') , $n = 5$ processus de Ornstein-Uhlenbeck et $PS3$ vérifie (\mathbf{C}') , $n = 5$.
- $(PS4)$ ne vérifie pas (\mathbf{C}') , $n = 12$ et $(PS5)$ vérifie (\mathbf{C}') , $n = 12$.

Table – Prix exacts des options d'achat européennes avec $PS2$, $PS3$, $PS4$ et $PS5$

K/S_0	Prix exact			
	$PS2$	$PS3$	$PS4$	$PS5$
0.95	10.364	10.055	11.657	11.724
1	7.3864	7.0422	8.9263	8.9987
1.05	4.9376	4.5860	6.6360	6.7101

Résultats et interprétations

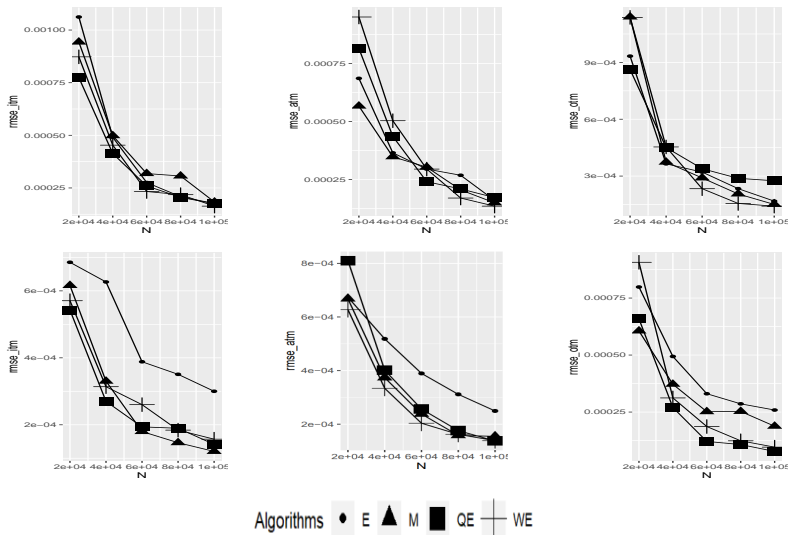


Figure – RMSE en fonction de N avec PS3 (en bas) et PS5 (en haut)

Résultats et interprétations

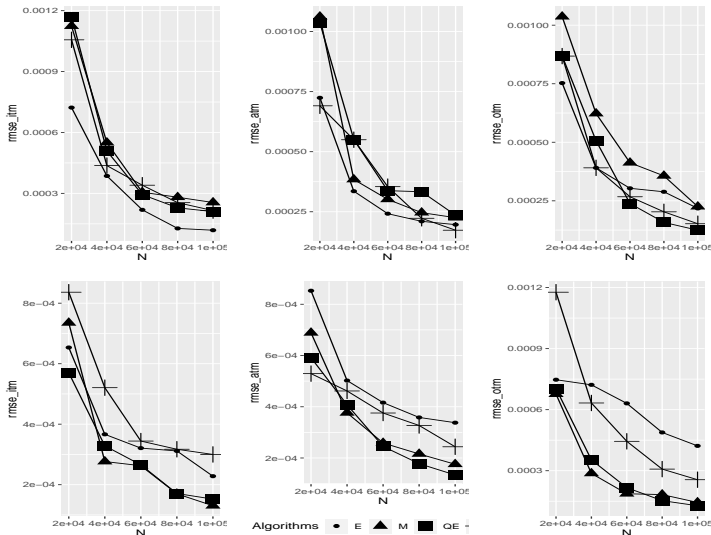


Figure – RMSE en fonction *N* avec *PS2* (en bas) et *PS4* (en haut)

Résultats et interprétations

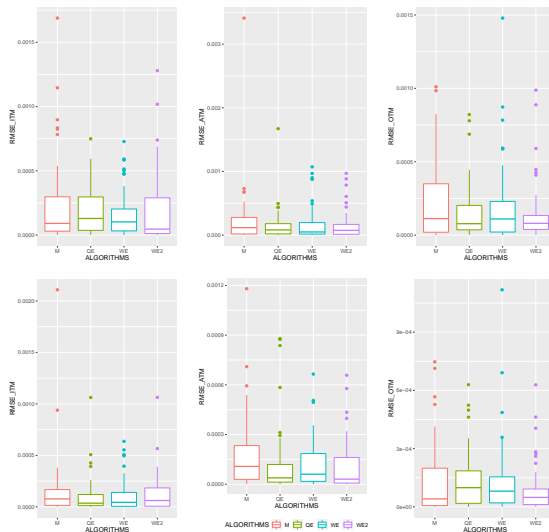


Figure – Distribution RMSE pour 100000 simulations *PS3*(en bas) *PS5*(en haut).

Résultats et interprétations

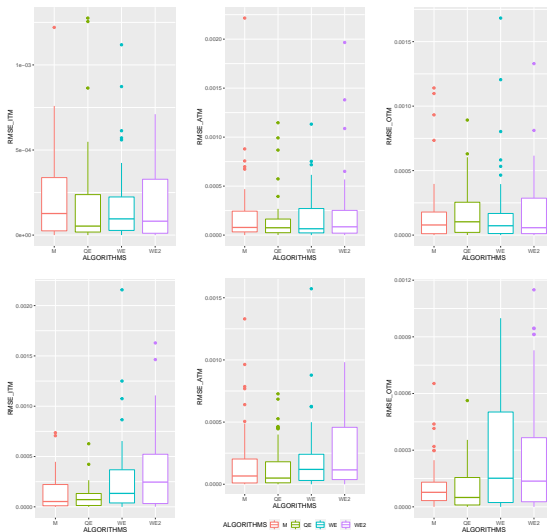


Figure – Distribution RMSE pour 100000 simulations *PS2*(en bas) *PS4*(en haut)

Table – Efficacité avec *PS3*

Nombre de simulations	M		Milstein	QE	Simulations pondérée
10000	2	$\hat{\mathbb{E}} \left[\left(C - \hat{C} \right)^2 \right]$	0.00597	0.00570	0.00649
		$\hat{\mathbb{E}} \left(\tau_{\hat{C}} \right)$	0.08165	0.44335	0.24975
		$\mathcal{E} \left(\hat{C} \right)$	2075.65	395.71	616.60
50000	2	$\hat{\mathbb{E}} \left[\left(C - \hat{C} \right)^2 \right]$	0.00160	0.00133	0.00131
		$\hat{\mathbb{E}} \left(\tau_{\hat{C}} \right)$	0.4067	2.2157	1.3242
		$\mathcal{E} \left(\hat{C} \right)$	1536.24	339.147	578.00

Table – Efficacité avec $PS2$

Nombre de simulations	M		Milstein	QE	Simulation pondérée
10000	2	$\hat{\mathbb{E}} \left[(C - \hat{C})^2 \right]$	0.00978	0.00736	0.01012
		$\hat{\mathbb{E}} (\tau_{\hat{C}})$	0.0813	0.4437	0.4752
		$\mathcal{E} (\hat{C})$	1257.68	306.14	207.85
50000	2	$\hat{\mathbb{E}} \left[(C - \hat{C})^2 \right]$	0.00222	0.00163	0.00309
		$\hat{\mathbb{E}} (\tau_{\hat{C}})$	0.4062	2.2151	2.1046
		$\mathcal{E} (\hat{C})$	1107.95	276.42	153.85

- RMSE décroît en fonction du nombre de simulations dans tous les schémas considérés.
- Lorsque (\mathbf{C}') est vérifiée, l'algorithme est plus précis.
- Si le nombre de processus à simuler est élevé, cela améliore la précision de la simulation pondérée.
- L'algorithme est plus efficace que la méthode si (\mathbf{C}') est vérifié et moins efficace dans le cas contraire.

Merci pour votre attention !



Andersen, Leif (2008). “Simple and efficient simulation of the Heston stochastic volatility model”. In : *Journal of Computational Finance* 11.3, p. 1-43.



Kouritzin, Michael A (2018). “Explicit Heston solutions and stochastic approximation for path-dependent option pricing”. In : *International Journal of Theoretical and Applied Finance* 21.01, p. 1850006.